

بررسی تأثیر استفاده از مدل‌های خوش نورتن و آسیب لیو-موراکامی در تعیین پارامتر مکانیک شکست در رژیم خوش (C^*)

سهیل نخودچی^{۱*}، احسان صابری^۲

۱- استادیار، مهندسی مکانیک، دانشگاه صنعتی خواجه نصیرالدین طوسی، تهران

۲- دانشجوی کارشناسی ارشد، مهندسی مکانیک، دانشگاه صنعتی خواجه نصیرالدین طوسی، تهران

*تهران، صندوق پستی ۱۹۹۹-۱۹۳۹۵ snakhodchi@kntu.ac.ir

اطلاعات مقاله

پارامتر مکانیک شکست خوشی، C^* ، ابزاری مهم در تعیین نرخ رشد ترک خوشی و عمر باقیمانده قطعات ترک دار با دمای کاری بالاست. برای محاسبه این پارامتر می‌توان از روش‌های تجربی، اجزاء محدود و روش‌هایی که اصطلاحاً «روش‌های مهندسی» نامیده می‌شوند استفاده کرد. در این مقاله برای بررسی تأثیر استفاده از مدل‌های خوش نورتن و آسیب لیو-موراکامی در تعیین مقادیر C^* برای یک نمونه کشش فشرده (CT)، مدل‌های رفتار خوشی توسعه داده شده و زیربرنامه مربوطه به مدل آسیب لیو-موراکامی جهت استفاده در نرم‌افزار تجاری آباکوس ایجاد شده است. هر کدام از مدل‌های یادشده دارای ثوابتی وابسته به دماسکت که برای دو آلیاژ پرکاربرد در صنایع نیتروگاهی، فولاد P91 و سوپر آلیاژ IN718 به ترتیب در دماهای ۶۵۰ و ۶۲۰ درجه سانتی گراد محاسبه شده و به کمک نتایج آزمون خوش صحه سنجی شده‌اند. در این مقاله تأثیر کاربرد دو مدل رفتار خوشی نورتن و آسیب لیو-موراکامی بر مقادیر C^* مورد مطالعه قرار گرفته و دقت هر یک در مقایسه با مقادیر تجربی و مقدار به دست آمده از روش مهندسی تش مینا سنجیده شده است. نتایج نشان می‌دهند مدل رفتاری لیو-موراکامی دقت بالاتری در تعیین مقادیر C^* دارد، ولی همچنان روش تش مینا سریع‌ترین و کاربردی‌ترین شیوه در تعیین این پارامتر است.

مقاله پژوهشی کامل
دریافت: ۱۶ شهریور ۱۳۹۴
پذیرش: ۲۰ مهر ۱۳۹۴
ارائه در سایت: ۱۴ آذر ۱۳۹۴
کلید واژگان:

پارامتر شکست در رژیم خوش
رشد ترک خوشی
مکانیک آسیب
روش تش مینا

Investigating effect of Norton and Liu–Murakami creep models in determination of creep fracture mechanic parameter (C^*)

Soheil Nakhodchi^{*}, Ehsan Saberi

۱- Department of Mechanical Engineering, K.N.Toosi University of Technology, Tehran, Iran
* P.O.B. 1999-19395, snakhodchi@kntu.ac.ir

ARTICLE INFORMATION

Original Research Paper
Received 07 September 2015
Accepted 12 October 2015
Available Online 05 December 2015

Keywords:
Creep Fracture Parameter
Creep Crack Growth
Damage Mechanics
Reference Stress Method

ABSTRACT

Creep fracture mechanic parameter, C^* , is an essential tool for creep crack growth rate estimation and so remnant life determination of components operating at high temperature. For determining this parameter experimental works, FE methods, and engineering approaches can be utilized. In this paper, in order to facilitate FE methods in C^* determination for a CT specimen, creep behavior models of Norton and Liu-Murakami were developed and related subroutines were created. Each of the aforementioned models has its own temperature dependent material coefficients which were determined and validated based on creep rupture tests on crack free uniaxial specimens of P91 steel and IN718 super alloy, respectively, at temperatures of 650°C and 620°C. In this study creep fracture mechanic parameter value of a CT specimen made of P91 steel was derived by application of Norton and Liu-Murakami creep behavior models and results were compared with results of the experimental tests and reference stress engineering approach results. The results indicate that Liu-Murakami creep behavior model better estimates creep fracture mechanics parameter with greater accuracy, yet reference stress engineering approach is the most economical way to determine this parameter.

پارامتر C^* است که جوانه‌زنی [۱-۳] و نرخ رشد ترک خوشی [۶-۷] را می‌توان به کمک آن پیش‌بینی کرد. این پارامتر را می‌توان به کمک روش‌های آزمایشگاهی، روش اجزاء محدود و روش مهندسی تش مینا محاسبه کرد. کانتور انتگرال مستقل از مسیر / برای نخستین بار در سال ۱۹۶۵ معرفی شد [۷]. کانتور انتگرال / به منظور تعیین وضعیت تش و کرنش نوک ترک در مواد الاستیک - پلاستیک کاربرد دارد. این پارامتر روی مسیر بسته‌ای حول نوک ترک که از سطح زیرین ترک آغاز و به سطح بالایی آن منتهی می‌شود محاسبه شده و توسط رابطه (۱) بیان می‌گردد.

۱- مقدمه

واماندگی در قطعات و سازه‌هایی که تحت بارگذاری غیرمتناوب و در دمای بالا کار می‌کنند عموماً ناشی از گسیختگی خوشی، رشد ترک خوشی و یا مجموعه هر دو حالت فوق است. پیش‌بینی این نوع واماندگی‌ها می‌تواند از روش اجزاء محدود و یا روابط تجربی که در کدهای مختلف طراحی (مانند R5 و A16) نیز استفاده می‌شوند، انجام شود. روش اجزاء BS 7910، R5 و یا A16 نیز استفاده می‌شوند، انجام شود. روش اجزاء محدود و کدهای استاندارد بر مبنای مکانیک شکست و مکانیک محیط‌های پیوسته بناسده‌اند. پارامتر مهمی که در تمامی شیوه‌های یاد شده اهمیت دارد

Please cite this article using:

S. Nakhodchi, E. Saberi, Investigating effect of Norton and Liu–Murakami creep models in determination of creep fracture mechanic parameter (C^*), *Modares Mechanical Engineering*, Vol. 15, No. 12, pp. 425-434, 2015 (in Persian)

برای ارجاع به این مقاله از عبارت ذیل استفاده نمایید:

رسیدن به طول ترک بحرانی را محاسبه کرد [10]. در این مقاله برای فراهم آوردن امکان استفاده از روش اجزاء محدود در تعیین مقادیر C^* برای یک نمونه کشش فشرده، مدل‌های رفتار خزشی نورتن و آسیب لیو- موراکامی استفاده شده است. جزئیات چگونگی محاسبه ثوابت مدل‌های رفتار خزشی برای دو فولاد پرکاربرد در صنایع نیروگاهی، فولاد P91 و سوپر آلیاز IN718، به ترتیب در دماهای 650 و 620 درجه سانتی‌گراد ارائه شده است، همچنین یک زیربرنامه³ جهت استفاده در نرمافزار تجاری آباکوس⁴ توسعه داده شده است که به کمک آن مدل رفتار خزشی آسیب لیو- موراکامی پیاده‌سازی شده است. علاوه‌بر این روش مهندسی تنش مبنا جهت محاسبه C^* تشریح شده است. درنهایت تأثیر کاربرد مدل رفتار خزشی نورتن و آسیب لیو- موراکامی بر مقادیر C^* برای فولاد P91 مورد مطالعه قرار گرفته و دقت هر کدام در مقایسه با مقادیر تجربی موجود در مراجع و مقدار محاسبه شده از روش مهندسی تنش مبنا سنجیده شده است. در این مقاله سعی شده است ضمن ارائه نتایج تحقیق، جزئیات و مراحل کار به تفصیل توضیح داده شود به نحوی که خواننده بتواند برای مواد دیگر این رویه را تکرار کند.

2- محاسبه C^* به کمک روش اجزاء محدود

با توجه به دلایل توضیح داده شده در مقدمه از نمونه استاندارد کشش فشرده (CT) جهت محاسبه C^* استفاده شده است. شکل 1-الف ابعاد نمونه کشش فشرده استفاده شده در روش اجزاء محدود را نشان می‌دهد. با توجه به تقارن و کاهش هزینه‌های محاسباتی تنها نیمی از هندسه مدل نشان داده شده جهت تحلیل اجزاء محدود در نظر گرفته شده است. شکل 1-ب مدل اجزاء محدود و نحوه المان‌بندی و بارگذاری مدل را نشان می‌دهد. یکی از پارامترهای تأثیرگذار در دقت حل اجزاء محدود مدل رفتاری در نظر گرفته شده برای ماده در حالت خزش است. با توجه به توضیحات تکمیلی که در ادامه ارائه شده است، دو مدل رفتاری نورتن و مدل آسیب لیو- موراکامی جهت توصیف رفتار خزشی فولاد P91 و سوپر آلیاز IN718 استفاده شده‌اند. ثوابت مستخرج جهت استفاده در مدل رفتاری نورتن را می‌توان به‌طور مستقیم در نرمافزار آباکوس استفاده نمود، ولی با توجه به اینکه نرمافزارهای تجاری اجزاء محدود مانند آباکوس به صورت پیش‌فرض توانایی استفاده از مدل‌های آسیب خزشی را دارا نیست، زیربرنامه‌ای توسط زبان برنامه‌نویسی فرترن⁵ سازگار با نرمافزار آباکوس توسعه داده شده است تا بتوان معادلات مکانیک آسیب مدل لیو- موراکامی را در حل عددی استفاده کرد.

با توجه به شرایط آزمون آزمایشگاهی بارگذاری ثابت به‌اندازه 3000 نیوتون به صورت عمودی به مرکز سوراخ وارد می‌شود. برای انتقال بار از مرکز به سطح داخلی سوراخ، گره‌های قرار گرفته بر سطح سوراخ به محل اعمال بار مقيید شده‌اند. برای جلوگیری از حرکت جسم صلب در راستای افقی، محل اعمال بار در این راستا ثابت می‌گردد، همچنین شرط مرزی تقارن باید بر گره‌های قرار گرفته بر محور تقارن اعمال گردد. المان‌های چهارضلعی مرتبه دو⁶ کرنش صفحه‌ای برای گسسته‌سازی هندسه نمونه به کار گرفته شده‌اند. برای ایجاد تکینی⁷ نوک ترک از المان‌های فروپاشیده⁸ تک گره‌ای که گره میانی آن‌ها به 0.25 فاصله از نوک ترک انتقال یافته استفاده شده است.

3- Subroutine

4- ABAQUS

5- FORTARN

6- Quadratic

7- Singularity

8- Collapsed element

$$J = \int (wdy - T_i \frac{\partial u_i}{\partial x} ds) \quad (1)$$

که در آن w چگالی انرژی کرنشی، T_i بردار کشش و u_i بردار جابه‌جا‌ی است [8]. کانتور انتگرال C^* شکل سازگار یافته / برای پدیده‌های وابسته به زمان مانند خزش است. به همین دلیل در کانتور انتگرال C^* متغیرهای چگالی انرژی کرنشی و جابه‌جا‌ی به صورت نرخ وارد می‌شوند (رابطه 2) [8].

$$C^* = \int (\dot{w}dy - T_i \frac{\partial \dot{u}_i}{\partial x} ds) \quad (2)$$

هاید و همکاران نرخ رشد ترک خزشی فولاد 316 در نمونه‌های مختلفی مانند نمونه ناخن انگشتی¹ و نمونه کشش فشرده² را توسط پارامترهای گوناگونی مانند ضریب شدت تنش (K)، تنش مبنا و C^* اندازه‌گیری کردند. نتیجه به‌دست آمده حاکی از آن بود که C^* به خوبی نرخ رشد ترک خزشی در تمامی انواع نمونه‌ها را پیش‌بینی می‌نماید [9].

پارامتر C^* را می‌توان توسط آزمون تجربی از طریق نمونه‌های ترک‌دار با شکل‌های هندسی مختلف اعم از نمونه‌های کشش فشرده، ناخن انگشتی و میله گرد دارای ترک محیطی محاسبه کرد [10]. هاید و همکاران [9] با انجام آزمون بر نمونه‌هایی با شکل‌های هندسی متفاوت، نمونه کشش فشرده را به عنوان ساده‌ترین و دقیق‌ترین هندسه برای محاسبه C^* معرفی کردند. برای نمونه‌های کشش فشرده، C^* را می‌توان به صورت تجربی و بر حسب نرخ جابه‌جا‌ی خط اعمال بار و طول ترک محاسبه کرد [11,10].

برای به کار گرفتن روش اجزاء محدود در تعیین C^* نیاز است تا رفتار خزشی ماده مورد نظر بر مبنای یکی از مدل‌های مرسوم اعم از مدل‌های مبتنی بر مکانیک محیط پیوسته (مانند مدل نورتن) و یا مدل‌های مکانیک آسیب (مانند مدل لیو- موراکامی) تعریف گردد. مدل نورتن علی‌رغم سادگی در پیاده‌سازی به دلیل کاربرد در گستره محدودی از تنش‌ها نمی‌تواند انتظارات ما را برای عمرهای طولانی در تنش‌های بالا برآورده کند. در سال 1957 کاچانوف [12] با ارائه مدل اولیه رفتار خزشی خود بر مبنای مفهوم آسیب گام مهمی در راستای توضیح رفتار خزشی برداشت. در سال 1969 رابوتونوف [13] مدل اولیه کاچانوف را مورد بازبینی قرار داد. این مدل بازبینی شده طی سال‌های بعد توسط لکی و هی‌هرست [15,14] به حالت چندمحوره تعمیم داده شد، اما مشکلاتی که این مدل در زمینه محاسبات عددی و حساسیت به تنش داشت سبب شد تا لیو و موراکامی [16] در سال 1998 مدل ارتقاء یافته خود را ارائه کنند. در استفاده از روش اجزاء محدود در تعیین C^* ، به دلیل آن‌که نرمافزارهای تجاری تحلیل مهندسی به‌طور پیش‌فرض امکانات استفاده از مدل‌های آسیب خزشی را دارا نیست نیاز است تا کدهای اختصاصی برای پیاده‌سازی این مدل‌ها توسعه داده شود.

روش دیگر تعیین پارامتر C^* روش تنش مبنا است که در ابتدا به منظور پیش‌بینی تغییر شکل خزشی در قطعات با استفاده از کمترین میزان اطلاعات موجود از ماده و تحلیل سازه‌ای آن‌ها ارائه شد. این روش تغییر شکل غیرالاستیک و واماندگی یک قطعه را به تغییر شکل و واماندگی نمونه آزمون تکمحوره که تحت تنشی به نام تنش مبنا صورت می‌گیرد مرتبط می‌سازد [17].

همان‌طور که در ابتدا توضیح داده شد یکی از کاربردهای مهم C^* محاسبه نرخ رشد ترک خزشی است. در قطعات ترک‌دار تحت خزش چنان‌چه نرخ رشد ترک تعیین گردد می‌توان طول عمر باقی‌مانده قطعه تا زمان

1- Thumbnail Specimen

2- Compact Tension (CT) Specimen

توصیه شده است که در گسته‌سازی هندسه قطعات ترکدار که برای استخراج پارامترهای مکانیک شکست انجام می‌گردد به دلیل تغییرات شدید تنش در این ناحیه حتماً در این ناحیه از المان‌های بسیار ریز استفاده شد. [18]. به گونه‌ایی که مقادیر کانتور انتگرال L روی مسیرهای مختلف اطراف نوک ترک یکسان شد. در این نوع تحلیل‌ها با توجه به این که تحلیل به منظور محاسبه پارامترهای نوک ترک انجام می‌شود عموماً به منظور کاهش بار محاسباتی از المان‌های به نسبت درشت در نواحی دیگر استفاده می‌شود که تأثیری در نتایج تحلیل ندارد. همان‌طور که در شکل 1-*a* و *b* نشان داده شده است، المان‌ها در اطراف نوک ترک تا حدی ریز شده‌اند که نتایج کانتور انتگرال روی مسیرهای نشان داده شده در شکل 2 یکسان شده است. این نتایج در ادامه و در قسمت 6 نشان داده شده است.

با توجه به رابطه (2) کانتور انتگرال C^* روی المان‌های نوک ترک مطابق آن‌چه در شکل 2 نشان داده شده است در هر مرحله زمانی قابل محاسبه است. علاوه‌کانتور انتگرال C^* محاسبه شده در مرحله‌های زمانی در طی زمان شبیه‌سازی مقدار پایایی ندارد و از مقدار بسیار بزرگ و گذراشی در ابتدای شبیه‌سازی ($C(t)$) تا مقدار حالت پایایی در انتهای آن (C^*) متغیر است. به عبارت دیگر می‌توان گفت پارامتر C^* مقدار حالت پایایی ($C(t)$) است.

1-2- مدل رفتار خزشی نورتن

مدل نمایی رفتار خزشی نورتن (رابطه 3) با دست بالا گرفتن کرنش خزشی رخ داده در ناحیه نخست خزش که رویکردی محتاطانه است، نرخ کرنش خزشی ثابتی را در طول فرآیند به دست می‌دهد. این رابطه به خوبی تغییر شکل رخ داده در ناحیه حالت پایایی خزش در سطوح تنش‌های پایین را برآش می‌نماید.

$$\dot{\epsilon} = A\sigma^n \quad (3)$$

در رابطه (3)، A و n ثوابت وابسته به دمای ماده است.

2-2- محاسبه ثوابت رابطه نورتن

برای محاسبه ثوابت رابطه نورتن برای فولاد P91 و سوپر آلیاژ IN718، از نتایج به دست آمده از آزمون‌های خزش تک محوره بر نمونه بدون ترک ارائه شده در [20,19] استفاده شده است. این آزمون‌ها در دمای 650 درجه سانتی‌گراد (برای P91) و 620 درجه سانتی‌گراد (برای IN718) تحت تنش‌های مختلف انجام گرفته است. به کمک نتایج این آزمون‌ها، ثوابت رابطه نورتن از دو روش محاسبه شده‌اند. روش نخست عبارت است از برآش یک خط بر داده‌های $\dot{\epsilon}$ بر حسب σ در مقیاس لگاریتمی، که در این صورت شیب خط مقدار n و عرض از مبدأ مقدار $\log \sigma$ را نشان می‌دهند. شیوه دوم، برآش توانی بر داده‌های $\dot{\epsilon}$ و σ است. مبنای برآش منحنی در این تحقیق روش کمینه مربعات است.

3-2- مدل‌های مکانیک آسیب

پارامتر آسیب D نخستین بار در سال 1957 توسط کاچانوف برای بررسی رفتار خزشی مواد معرفی شد که مقیاسی از مقدار آسیب به وجود آمده در ماده است [12]. این پارامتر بین صفر برای ماده کاملاً سالم و یک برای ماده کاملاً آسیب دیده که دچار واماندگی شده تعریف می‌شود. از آنجا که در سطوح تنش بالا سهم عمده‌ای از عمر قطعات در ناحیه سوم خزشی سپری می‌شود مدل‌های آسیب خزشی با در نظر گرفتن تمامی مراحل خزشی و زوال ماده گزینه‌های مناسب‌تری برای مدل رفتار خزشی است.

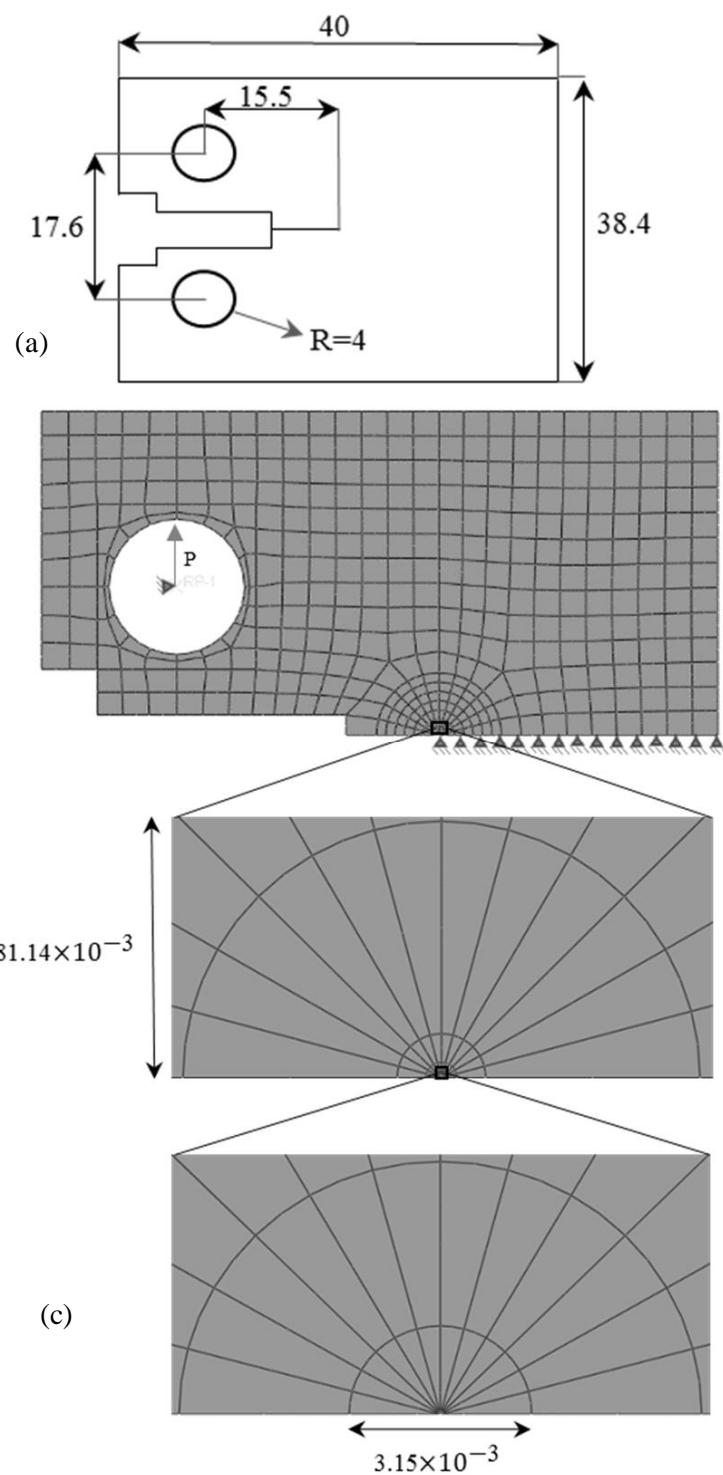


Fig. 1-a ابعاد نمونه کشش فشرده (CT) استفاده شده برای محاسبه مقادیر C^* . **Fig. 1-b** دیسکریتیزاسیون مدل دو بعدی اجزاء محدود. **Fig. 1-c** جزئیات المان‌های نوک ترک (ابعاد به میلی‌متر)

شکل 1- a-1 ابعاد نمونه کشش فشرده (CT) استفاده شده برای محاسبه مقادیر C^* . b-1- جزئیات المان‌های نوک ترک (ابعاد به میلی‌متر)

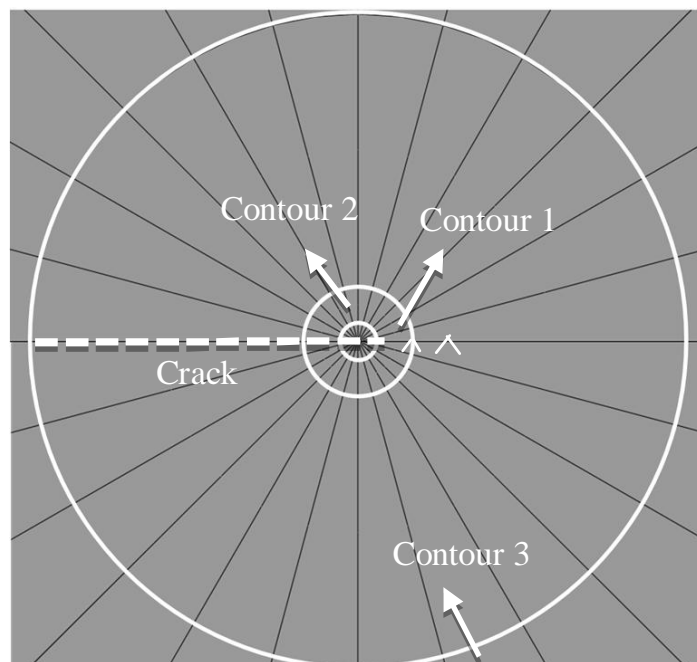


Fig. 2 Integration contours around crack tip for C^* calculation. To enhance figure quality just contours 1 to 3 is shown
شکل 2 کانتورهای انتگرال گیری تعریف شده حول نوک ترک برای محاسبه C^* . برای حفظ کیفیت شکل تنها کانتورهای 1-3 نشان داده شده‌اند

زمان واماندگی، t_f ، که برابر است با زمانی که پارامتر آسیب به مقدار واحد رسیده و ماده هیچ تحمل باری از خود نشان نمی‌دهد، به صورت رابطه (7) به دست می‌آید (در حالت تک محوره $\sigma_{eq} = \sigma_1 = \sigma_{rup}$).

$$t_f = \frac{1}{M\sigma_{rup}} \quad (7)$$

با برآش منحنی خطی بر داده‌های t_f بر حسب σ_{rup} در مقیاس لگاریتمی، شیب خط برآش یافته مقدار (X) و عرض از مبدأ مقدار (-Log M) را نشان می‌دهند. بدین ترتیب مقادیر M و X که در حالت تک محوره کنترل‌کننده زمان واماندگی تعیین می‌گردند.

ضریب q_2 نشان‌دهنده شدت تغییرات کرنش در بد و ورود به ناحیه سوم خزش است. برای تعیین مقدار این ثابت، با مشخص بودن سایر ثوابت مربوط به ماده (به غیر از α که مقادیر آن در حالت تنفس تک محوره بی‌تأثیر است)، مدل اجزاء محدود نمونه بدون ترک بر حسب مقادیر مختلف q_2 ایجاد می‌شود. مقدار q_2 در مدل اجزاء محدودی که بهترین تطابق با نتایج تجربی در تنفس مشابه را دارا باشد به عنوان مقدار نهایی این ثابت تعیین می‌گردد.

برای تعیین ثابت چندمحورگی تنفس، α ، از نتایج تجربی انجام گرفته بر نمونه میله شکافدار نشان داده شده در شکل 3 استفاده می‌شود [20,19]. مانند مرحله پیش مدل اجزاء محدود نمونه میله شکافدار³ بر حسب مقادیر مختلف α ایجاد می‌گردد. مقدار α در مدل اجزاء محدودی که بهترین انطباق را با نتایج تجربی داشته باشد به عنوان مقدار ثابت چندمحورگی تنفس در دمای مورد نظر معرفی می‌شود.

3- صحه‌سنجی مدل‌های اجزاء محدود رفتار خزشی

همان‌طور که توضیح داده شد، ثوابت مستخرج جهت استفاده در مدل رفتاری نورتن را می‌توان به طور مستقیم در نرم‌افزارهای تجاری اجزاء محدود استفاده کرد، ولی با توجه به این که نرم‌افزارهای تجاری اجزاء محدود مانند آباکوس به صورت پیش‌فرض توانایی استفاده از مدل‌های آسیب خزشی را دارا نیست، درنتیجه زیربرنامه مدل آسیب باید به نرم‌افزار اجزاء محدود معرفی گردد. برای صحه‌سنجی مدل‌های اجزا محدود ثوابت مستخرج از قسمت‌های (1-2)-(4-2) را به عنوان مقادیر ورودی در مدل‌های اجزا محدود توسعه داده شده وارد شده است. سپس رفتار نمونه‌های بدون ترک در محیط المان محدود با نتایج آزمون‌های تجربی مقایسه شده است.

4- محاسبه C^* به کمک روش تنفس مبنا

با توجه به این که عموماً نمی‌توان اطلاعات زیادی از قطعات تحت خزش به دست آورد، روش تنفس مبنا به منظور پیش‌بینی تغییر شکل خزشی در قطعات با استفاده از کمترین میزان اطلاعات موجود از ماده و بدون نیاز به تحلیل سازه‌ای ارائه شد. این روش تغییر شکل غیرالاستیک و واماندگی یک قطعه را به تغییر شکل و واماندگی نمونه آزمون تک محوره که تحت تنفسی به نام تنفس مبنا صورت می‌گیرد مرتبط می‌سازد [17]. تغییر شکل به وجود آمده در نمونه آزمون تک محوره با استفاده از ضریبی به نام ضریب مبنا به تغییر شکل به وجود آمده در قطعه مرتبط می‌گردد. تنفس و ضریب مبنا وابسته به هندسه قطعه و بارگذاری وارد به آن بوده و مستقل از جنس ماده است [27]. برای برخی قطعات ساده این امکان وجود دارد که مقادیر تنفس و ضریب مبنا را به صورت تحلیلی استخراج نمود. همچنین برای هندسه‌ها و بارگذاری‌های پیچیده‌تر می‌توان این مقادیر را از طریق حل عددی به دست

3- Notched bar specimen

مدل‌های آسیب خزشی توسط یک زوج معادله که یکی از آن‌ها گسترش آسیب در ماده و دیگری نرخ کرنش را بر حسب پارامتر آسیب توضیح می‌دهد تشکیل شده‌اند. مدل‌های آسیب خزشی لیو- موراکامی [16]، زوج روابط 4، به صورت گسترده در پیش‌بینی توزیع تنفس و کرنش در دمای بالا به کاربرده شده‌اند [26-21].

$$\left\{ \begin{array}{l} \dot{\epsilon}_c = \frac{3}{2} A \sigma_{eq}^{n-1} S_{ij} \exp\left[\frac{2(n+1)}{\pi \sqrt{1+\frac{3}{n}}} \left(\frac{\sigma_1}{\sigma_{eq}}\right)^2 D^{1.5}\right] \\ \dot{D} = \frac{M[1-\exp(-q_2)]}{q_2} \sigma_{rup}^X \exp(q_2 D) \end{array} \right. \quad (a-4)$$

$$(b-4)$$

در این روابط S_{ij} تانسور تنفس انجرافی، D پارامتر آسیب و $A, m, n, q_2, M, \sigma_{eq}$ ثوابت وابسته به دمای ماده است. برای در نظر گرفتن حالت سه‌محوره تنفس در قطعات، تنفس پارگی¹ به صورت رابطه (5) در روابط ظاهر شده است [15,14].

$$\sigma_{rup} = \alpha \sigma_1 + (1 - \alpha) \sigma_{eq} \quad (5)$$

در این رابطه σ_1 تنفس اصلی بیشینه، σ_{eq} تنفس معادل ون‌میز و α ثابت چندمحورگی تنفس² است ($0 < \alpha < 1$).

2-4- محاسبه ثوابت مدل آسیب لیو- موراکامی

برای محاسبه ثوابت رابطه لیو- موراکامی از نتایج به دست آمده از آزمون‌های خزش تک محوره بر نمونه بدون ترک ارائه شده در [20,19] استفاده شده است. لازم به یاد است که ثوابت A و n که در حالت تک محوره کنترل‌کننده نرخ کرنش کمینه است، بین هر دو مدل نورتن و لیو- موراکامی مشترک بوده و مقادیر یکسانی دارند.

با انتگرال‌گیری از رابطه توسعه آسیب (b-4) در حالت تک محوره بین حدود بالا و پایین پارامتر آسیب ($0 < D < 1$) به صورت رابطه (6) است.

$$\int_{D=0}^{D=1} \frac{dD}{\exp(q_2 D)} = \int_{t=0}^{t=t_f} \frac{M[1 - \exp(-q_2)]}{q_2} \sigma_{rup}^X dt \quad (6)$$

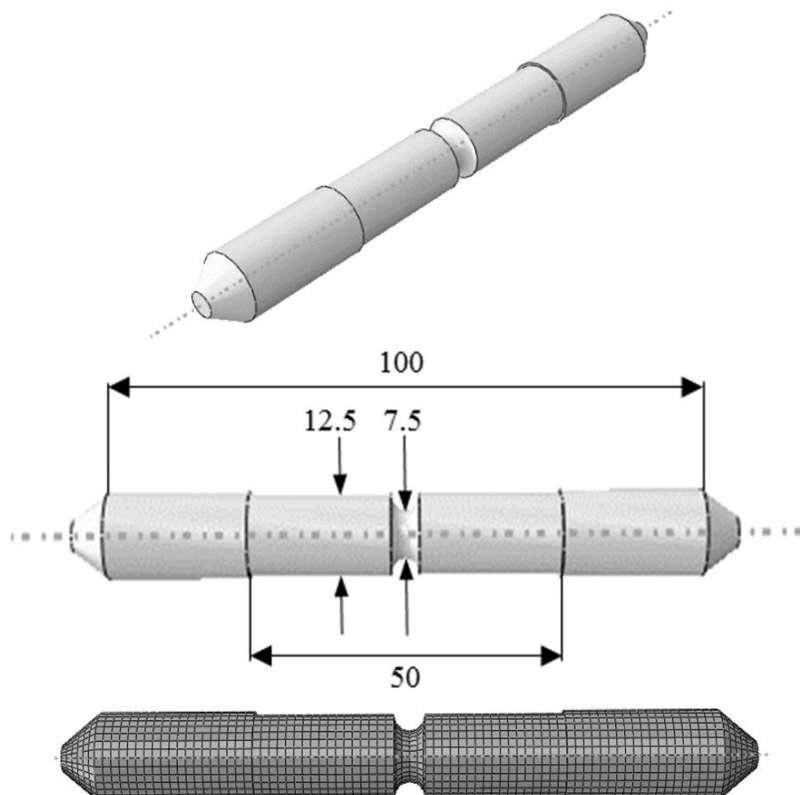


Fig. 3 Geometry, dimensions and discretization details of notched bar specimen for α calculation. (Dimensions In millimeter).

شکل 3 هندسه، ابعاد و جزئیات المان‌بندی نمونه میله شکافدار مورد استفاده در تعیین مقادیر α (ابعاد به میلی‌متر)

1- Rupture stress
2- Multiaxial stress parameter

با داشتن مقادیر K و σ_{ref} می‌توان مقدار C^* را براساس رابطه (13) تعیین کرد.

5- محاسبه C^* به کمک آزمون تجربی

همان‌طور که گفته شد C^* یک عبارت ریاضی است که بر مسیر بسته‌ای حول نوک ترک محاسبه می‌شود. برای نمونه‌های کشش فشرده، C^* را می‌توان به صورت تجربی و بر حسب نرخ جابه‌جایی خط اعمال بار و طول ترک محاسبه نمود. مقدار پارامتر C^* برای مواد همگن براساس رابطه (18) قابل محاسبه است.

$$C^* = \frac{n}{n+1} \frac{P\dot{V}}{B_N(W-a)} \left(2 + 0.522 \left(1 - \frac{a}{W} \right) \right) \quad (18)$$

در این رابطه P نیروی اعمالی، \dot{V} نرخ جابه‌جایی خط بار، n نمای رابطه نورمن، B_N ضخامت مقطع شیاردار نمونه، W پهنای نمونه و a طول ترک است [10].

6- نتایج

با توجه به توضیحات ارائه شده در قسمت 2 در خصوص تعیین ثوابت مدل رفتار خرمن نورمن، می‌توان ثوابت A و n را از طریق منحنی برآشش شده به صورت خطی و غیرخطی نشان داده شده در شکل‌های 4 و 5 تعیین کرد. این ثوابت برای فولاد P91 در دمای 650 درجه سانتی‌گراد و برای سوپر آلیاژ IN718 در دمای 620 درجه سانتی‌گراد به ترتیب در جدول 1 و 2 نشان داده شده‌اند.

همان‌طور که مشاهده می‌شود درصد اختلاف در محاسبه ثابت A از روش خطی و غیرخطی برای فولاد P91 و سوپر آلیاژ IN718 به ترتیب برابر با 84.49 و 89.63 درصد که مقدار قابل توجهی است. این اختلاف به نظر می‌رسد سبب ایجاد عدم قطعیت در نتایج اجزاء محدود می‌شود، اما همان‌طور که در ادامه مشاهده خواهد شد درصد خطای بسیار کمتری در محاسبه پارامتر مکانیک شکست با استفاده از ثوابت به دست آمده از دو طریق خطی و غیرخطی مشاهده خواهد شد.

برای استفاده از مدل آسیب خرمن لیو- موراکامی، علاوه‌بر نیاز به ثوابت مدل نورمن، چهار ثابت M , X , q_2 و α نیز مورد نیاز است که نحوه استخراج این ثوابت به عنوان نمونه برای فولاد P91 در شکل‌های 6-8 نشان داده شده است. این ثوابت برای فولاد P91 و سوپر آلیاژ IN718 در جدول 3 نشان داده شده‌اند.

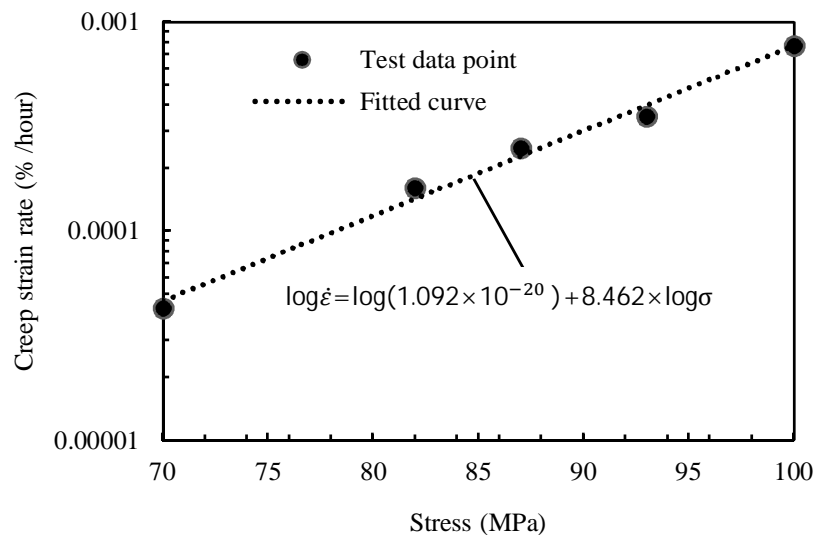


Fig. 4 Fitting linear curve on creep strain rate vs. stress test data to calculate A , n parameters of P91 at 650°C

شکل 4 برآشش خطی بر داده‌های لگاریتمی نرخ کرنش بر حسب تنش برای محاسبه ثوابت A و n فولاد P91 در دمای 650 درجه سانتی‌گراد

آورده، اما پرکاربردترین روش برای دست یافتن به مقدار تنش مبنا استفاده از روش تقریبی که به صورت رابطه (8) بر مبنای بار حدی بناسده است.

$$\sigma_{ref} = \frac{P}{P_L} \sigma_y \quad (8)$$

که در آن P بار وارد بر قطعه، P_L بار حدی قطعه یا به عبارت دیگر بار فروپاشی سازه که در محاسبه آن رفتار ماده پلاستیک کامل در نظر گرفته می‌شود و σ_y تنش تسلیم است [28]. برای به دست آوردن ضریب مبنا نیز می‌توان از حل الاستیک استفاده کرد. تحقیقات نشان می‌دهند که می‌توان از تنش مبنا برای دستیابی به C^* استفاده کرد [29,9].

در حالت کلی ل پارامتر الاستیک- پلاستیک مکانیک شکست را می‌توان به صورت رابطه (9) نشان داد.

$$J = h\sigma\epsilon a \quad (9)$$

که در آن h یک ضریب بی بعد و a طول ترک است. مقدار h وابسته به طول نسبی ترک به ابعاد قطعه، شرایط بارگذاری و خواص ماده است و می‌توان آن را توسط روش اجزاء محدود تعیین کرد. در صورت استفاده از تنش مبنا در رابطه (9)، مقدار h مستقل از خواص ماده می‌شود [31,30]، پس می‌توان آن را از طریق حل الاستیک به صورت رابطه (10) به دست آورد.

$$G = h\sigma_{ref} \frac{\sigma_{ref}}{E'} a = \frac{K^2}{E'} \quad (10)$$

که در آن G نرخ رهایش انرژی کرنشی الاستیک و K ضریب شدت تنش است. نیز که از خواص ماده است به صورت رابطه (11) تعریف می‌گردد.

$$E' = \begin{cases} E & \text{تنش صفحه‌ای} \\ \frac{E}{1-\nu^2} & \text{کرنش صفحه‌ای} \end{cases} \quad (11)$$

با به دست آوردن مقدار h از رابطه (10) و جایگذاری آن در رابطه (9)، مقدار J به صورت رابطه (12) به دست می‌آید.

$$J = \sigma_{ref}\epsilon_{ref} \left(\frac{K}{\sigma_{ref}} \right)^2 \quad (12)$$

که در آن ϵ_{ref} کرنش تحت تنش σ_{ref} است. با انتخاب روند مشابهی می‌توان پارامتر C^* را که فرم وابسته به زمان J است به صورت رابطه (13) تعیین کرد.

$$C^* = \sigma_{ref}\epsilon_{ref} \left(\frac{K}{\sigma_{ref}} \right)^2 \quad (13)$$

که در آن ϵ_{ref} نرخ کرنش خرمن تحت تنش σ_{ref} است. این رابطه از آن جاکه حل‌های K و σ_{ref} برای گستره بزرگی از هندسه‌ها و ترک‌ها موجود است کاربردی به نظر می‌رسد.

برای تعیین مقدار σ_{ref} از طریق رابطه (8) ابتدا نیاز است مقادیر بار حدی تعیین گردد. مقدار بار حدی برای نمونه کشش فشرده برای حالات کرنش صفحه‌ای و تنش صفحه‌ای به صورت روابط (15,14) معرفی شده است [8].

$$P_L = \begin{cases} 1.455\eta B(W-a)\sigma_y & \text{کرنش صفحه‌ای} \\ 1.072\eta B(W-a)\sigma_y & \text{تنش صفحه‌ای} \end{cases} \quad (14)$$

$$\eta = \sqrt{\left(\frac{2a}{W-a}\right)^2 + \left(\frac{4a}{W-a}\right) + 2 - \left(\frac{2a}{W-a} + 1\right)} \quad (15)$$

در روابط بالا W پهنای نمونه، a طول ترک و B ضخامت نمونه است. همچنین مقدار K برای نمونه کشش فشرده به صورت روابط (17,16) معرفی شده است [10].

$$K = \frac{P}{(BB_N)^{0.5} W^{0.5}} \frac{2 + \frac{a}{W}}{\left(1 - \frac{a}{W}\right)^{1.5}} F\left(\frac{a}{W}\right) \quad (16)$$

$$F\left(\frac{a}{W}\right) = 0.886 + 4.64\left(\frac{a}{W}\right) - 13.32\left(\frac{a}{W}\right)^2 + 14.72\left(\frac{a}{W}\right)^3 - 5.6\left(\frac{a}{W}\right)^4 \quad (17)$$

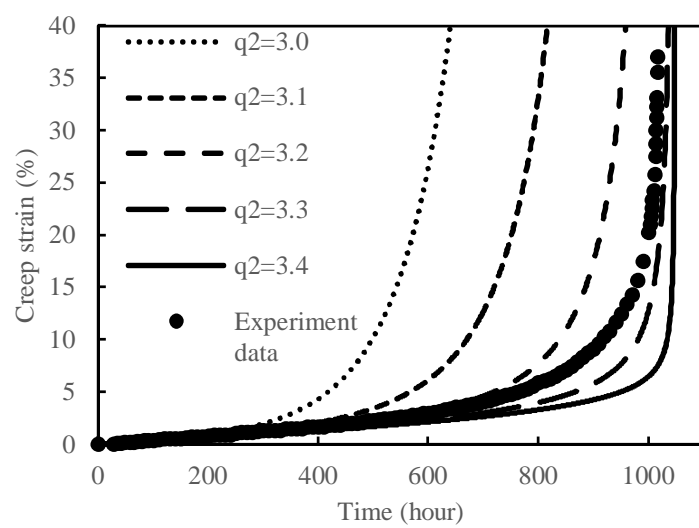


Fig. 7 Adjusting q_2 values to agree with experiment data obtained from P91 creep test under 70 MPa stress at 650°C

شکل 7 انطباق مقادیر q_2 با نتایج آزمون تجربی در تنش 70 مگاپاسکال به منظور محاسبه این پارامتر برای فولاد P91 در دمای 650 درجه سانتی‌گراد

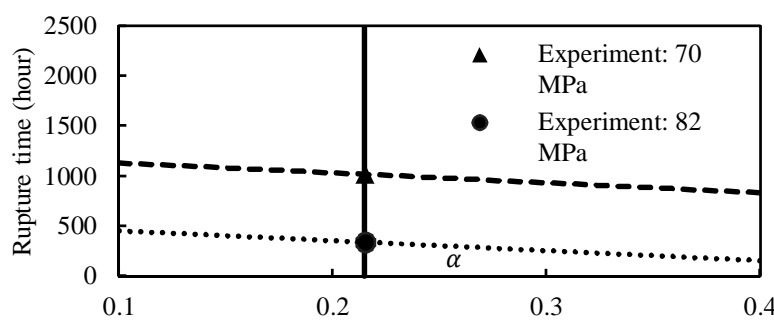


Fig. 8 Adjusting α values to agree with experiment data obtained from P91 creep test at 650°C

شکل 8 انطباق مقادیر حل عددی α با نتایج آزمون تجربی برای محاسبه این پارامتر برای فولاد P91 در دمای 650 درجه سانتی‌گراد

و نتایج آن با نتایج آزمون خزش در دما و تنش مشابه مقایسه شده است. در شکل‌های 9 و 10 نتایج آزمون‌های تجربی بر نمونه‌های بدون ترک فولاد P91 و سوپر آلیاژ IN718 در سطوح مختلف تنش به ترتیب در دمای 650 و 620 درجه سانتی‌گراد [20,19]، با نتایج بدست آمده از مدل اجزاء محدود برگرفته از مدل خزش مکانیک آسیب لیو- موراکامی مقایسه شده است. همان‌طور که مشخص است، در سطوح تنش نشان داده شده، نواحی مختلف منحنی خزشی با دقت بسیار خوبی پیش‌بینی می‌گردد. البته در مورد پیش‌بینی رفتار خزشی نمونه بدون ترک IN718 با استفاده از مدل لیو- موراکامی همان‌طور که در شکل 10 ملاحظه می‌شود در ناحیه سوم خزش مقادیر تجربی نسبت به مقادیر محاسبه شده به کمک مکانیک آسیب اندکی واگرا می‌گردد که می‌تواند مقداری خطا در محاسبات وارد کند. البته با توجه به این که شبیه نتایج مدل آسیب از نتایج تجربی بیشتر است، پیش‌بینی انجام شده محتماطانه خواهد بود و از این‌رو خطر خاصی متوجه قطعه نیست.

Riftar خزشی پیش‌بینی شده نمونه خزش تکمحوره از جنس فولاد P91 و سوپر آلیاژ IN718 توسط مدل نورتن با نتایج آزمون تجربی به ترتیب در شکل 11 و 12 مقایسه شده‌اند. نتایج نشان می‌دهند که مدل نورتن تغییر شکل خزشی تا ناحیه دوم را به خوبی پیش‌بینی می‌کند، ولی در پیش‌بینی زمان واماندگی ناتوان است. در واقع دلیل اصلی این نوع پیش‌بینی ضعف ذاتی این مدل‌ها در پیش‌بینی واماندگی در ناحیه سوم خزش است که به عنوان یک محدودیت در استفاده از این مدل باید مورد نظر قرار گیرد. این محدودیت‌ها مستقل از این‌که روش برآمدگی توانی و یا برآمدگی خطی استفاده شده باشد وجود دارد.

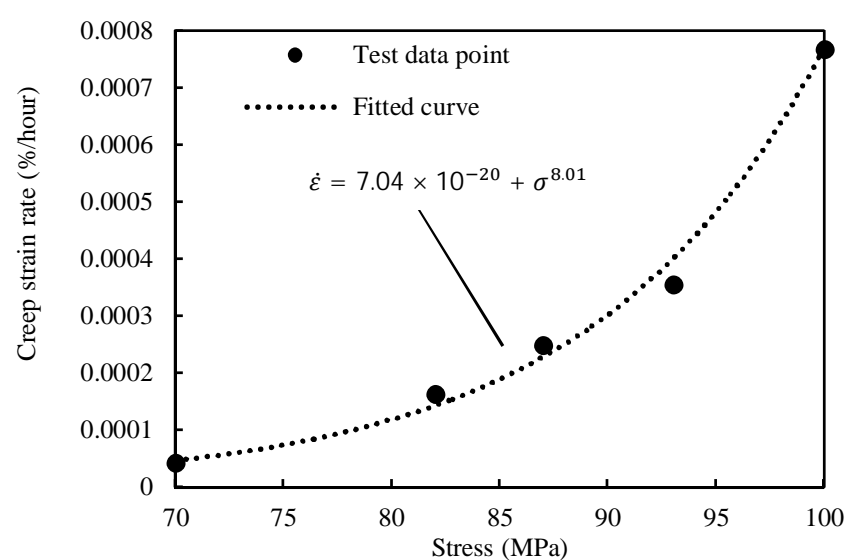


Fig. 5 Fitting nonlinear curve on creep strain rate vs. stress test data to calculate A , n parameters of P91 at 650°C

شکل 5 برازش غیرخطی بر داده‌های نرخ کرنش بر حسب تنش برای محاسبه ثابت A و n فولاد P91 در دمای 650 درجه سانتی‌گراد

جدول 1 ضرایب رابطه نورتن برای فولاد P91 در دمای 650 درجه سانتی‌گراد (تنش بر حسب مگاپاسکال و زمان بر حسب ساعت)

Table 1 P91 Norton power law constants at 650°C (Stress in MPa and time in hour)

n	A	Material constants
8.462	1.092×10^{-20}	Linear fitting
8.01	7.04×10^{-20}	Non-Linear fitting
5.34	84.49	Difference (%)

جدول 2 ضرایب رابطه نورتن برای آلیاژ IN718 در دمای 620 درجه سانتی‌گراد (تنش بر حسب مگاپاسکال و زمان بر حسب ساعت)

Table 2 IN718 Norton power law constants at 620°C (Stress in MPa and time in hour)

n	A	Material constants
19.3	2.037×10^{-61}	Linear fitting
19.63	1.964×10^{-60}	Non-Linear fitting
1.68	89.63	Difference (%)

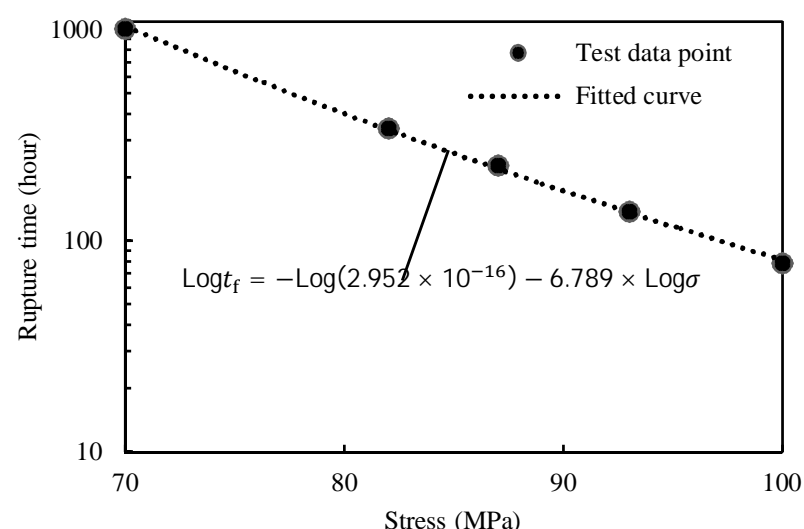
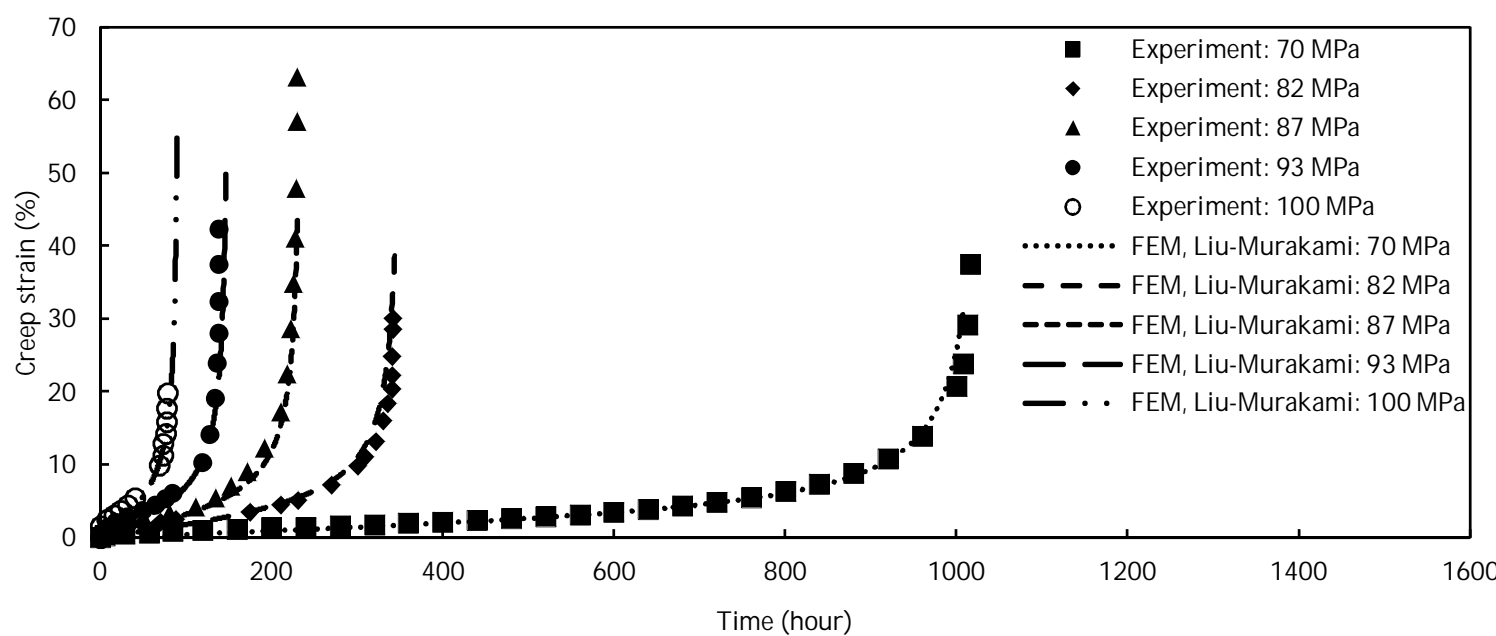


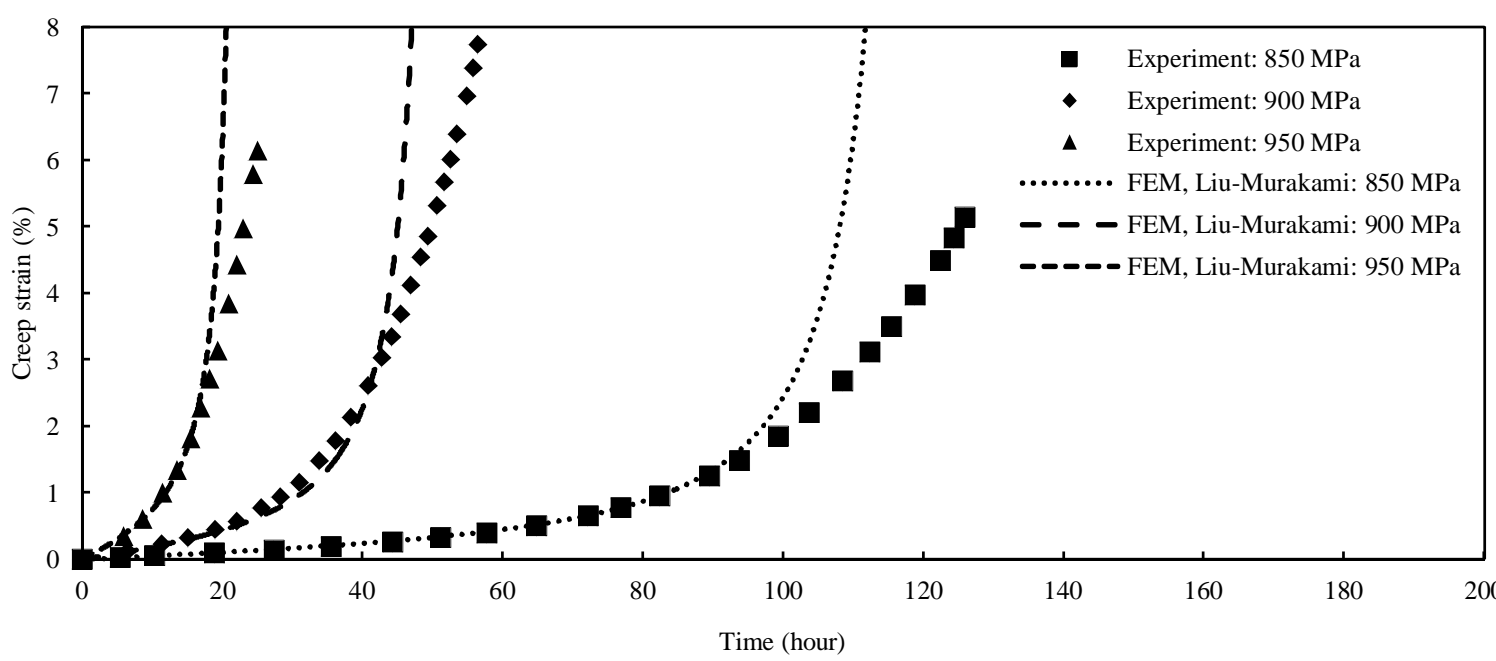
Fig. 6 Fitting linear curve on rupture time vs. stress test data to calculate M , X parameters of P91 at 650°C

شکل 6 برازش خطی بر داده‌های لگاریتمی زمان واماندگی بر حسب تنش برای محاسبه ثابت M و X فولاد P91 در دمای 650 درجه سانتی‌گراد

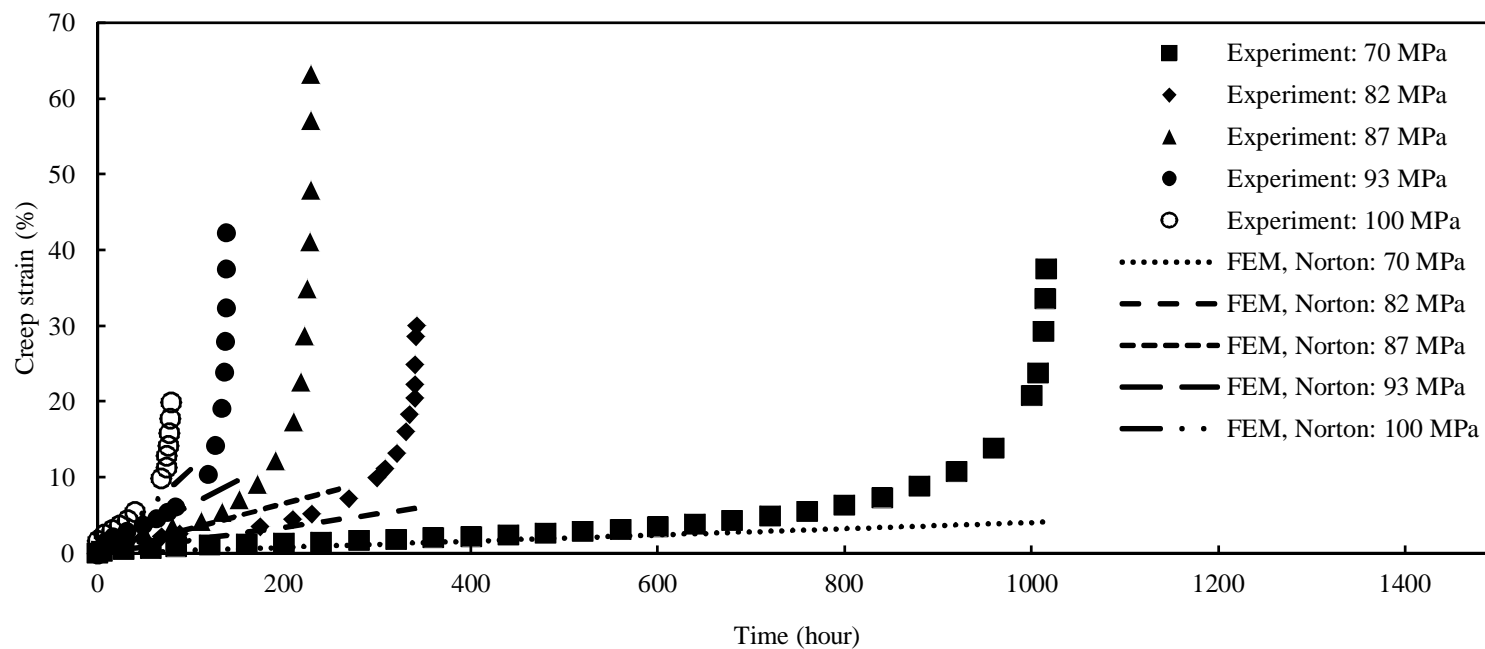
برای بررسی صحت مدل آسیب خزش به کار گرفته شده، این مدل بر نمونه‌های بدون ترک تحت بارگذاری تکمحوره در دمای بالا پیاده‌سازی شده

**Fig. 9** Validating Liu-Murakami creep model by comparing FE results to P91 creep test results at 650°C [19]

شکل 9 بررسی صحت نتایج حل اجزاء محدود به کمک مدل آسیب لیو-موراکامی در مقایسه با نتایج تجربی آزمون خرمن خرشن فولاد P91 در دمای 650 درجه سانتی‌گراد [19]

**Fig. 10** Validating Liu-Murakami creep model by comparing FE results to IN718 creep test results at 620°C [20]

شکل 10 بررسی صحت نتایج حل اجزاء محدود به کمک مدل آسیب لیو-موراکامی در مقایسه با نتایج تجربی آزمون خرمن خرشن فولاد IN718 در دمای 620 درجه سانتی‌گراد [20]

**Fig. 11** Inability of Norton creep model to fully predict P91 creep test results at 650°C [19]

شکل 11 بررسی ناتوانی مدل اجزاء محدود بر مبنای مدل خرمنورتن در پیش‌بینی تمامی نتایج آزمون تجربی خرمن خرشن فولاد P91 در دمای 650 درجه سانتی‌گراد [19]

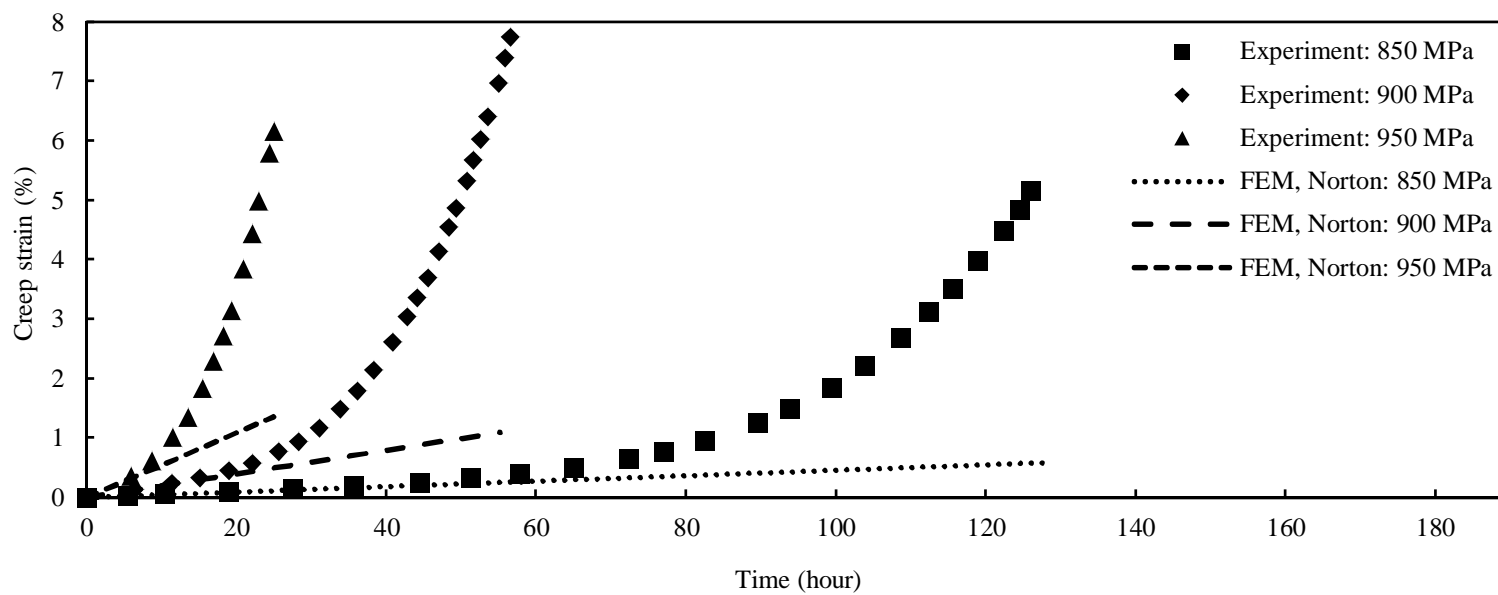


Fig. 12 Inability of Norton creep model to fully predict IN718 creep test results at 620°C [20]

شکل 12 بررسی ناتوانی مدل اجزاء محدود بر مبنای مدل خزش نورتن در پیش‌بینی تمامی نتایج آزمون تجربی خزش سوپر آلیاژ IN718 در دمای 620 درجه سانتی‌گراد [20]

این کانتور انتگرال صرف نظر شده است، همچنین در شکل 14 قابل ملاحظه است که در خروجی کانتور دوم نوساناتی دیده می‌شود که این به دلیل پیش‌بینی بیشتر مدل لیو-موراکامی از تغییر شکل به وجود آمده در نوک ترک نسبت به مدل نورتن و واپیچیدگی بیشتر المان‌های نوک ترک است. همین امر سبب ایجاد خطای خروجی کانتور دوم مانند کانتور اول می‌شود. جزئیات عددی مربوط به خروجی کانتور انتگرال‌ها در جدول 4 نشان داده شده است.

در جدول 5، خروجی مقادیر محاسبه شده C^* از روش اجزاء محدود با استفاده از مدل‌های رفتار خزشی نورتن و لیو-موراکامی با نتایج آزمون تجربی و روش مهندسی تنش مبنا مورد مقایسه قرار گرفته‌اند. با توجه به جدول 5 می‌توان نتیجه گرفت مدل رفتار خزشی لیو-موراکامی نزدیک‌ترین خروجی به نتایج تجربی را دارد. همچنین قابل ملاحظه است که خروجی اجزاء محدود بر مبنای مدل پرکاربرد نورتن با وجود پیاده‌سازی راحت‌تر رویکردی غیرمحاطانه دارد. ازان‌جاکه روش تنش مبنا مشکلات مربوط به تعیین ثوابت ماده را دارا نیست و رویکردی محاطانه با دقت قابل قبول است، همچنان به عنوان اقتصادی‌ترین روش در تعیین پارامتر مکانیک شکست در رژیم خزش معرفی می‌شود.

جدول 3 ثوابت مربوط به مدل آسیب لیو-موراکامی برای فولاد P91 و IN718 به ترتیب در دمای 650 و 620 درجه سانتی‌گراد (نشش بر حسب مگاپاسکال و زمان بر حسب ساعت)

Table 3 P91 and IN718 Liu-Murakami model material constants respectively at 650°C and 620°C (stress in MPa and time in hour)

α	q_2	X	M	n	A	Material constant
0.215	3.2	6.789	2.952×10^{-16}	8.462	1.092×10^{-20}	P91
0.1	3.5	14.728	5.619×10^{-46}	19.3	2.037×10^{-61}	IN718

حل اجزاء محدود نمونه کشش فشرده با ابعاد نشان داده شده در شکل 1 برای فولاد P91 در دمای 650 درجه سانتی‌گراد و تحت بارگذاری به اندازه 3000 نیوتن انجام شد. جزئیات خروجی روش اجزاء محدود بر مبنای مدل نورتن در شکل 13 و بر مبنای مدل لیو-موراکامی در شکل 14 برای هر کدام از سطوح انتگرال (شکل 2) نشان داده شده است. عدم وجود اختلاف شدید در خروجی همگرا شده مقادیر $C(t)$ ، که همان C^* است، از هر یک از سطوح انتگرال مهر تأییدی بر مستقل بودن محاسبات از مسیر، که شرط لازم در محاسبات C^* است. به دلیل واپیچیدگی زیاد نخستین ردیف محیطی از المان‌های نوک ترک احاطه شده توسط کانتور سطح یک، از مقدار خروجی

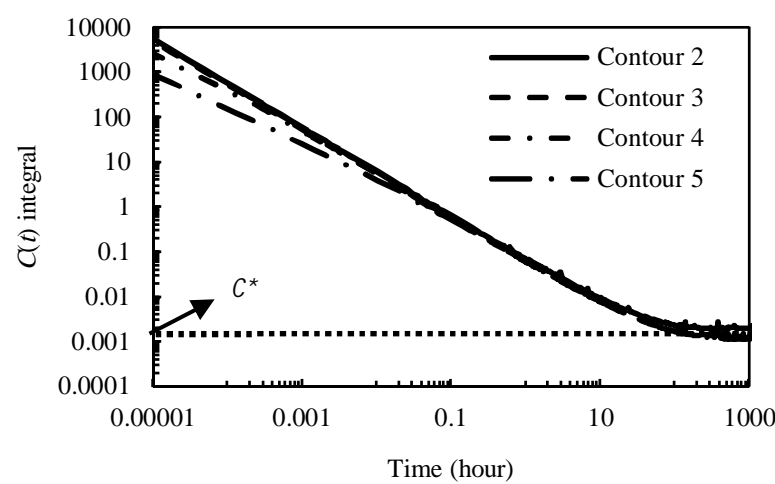


Fig. 14 $C(t)$ integral variation at P91 CT specimen crack tip during FE modeling based on Liu-Murakami creep model at 650°C under 3000N load

شکل 14 نحوه تغییرات $C(t)$ در نوک ترک نمونه کشش فشرده P91 در طی فرآیند شبیه‌سازی با استفاده از مدل لیو-موراکامی در دمای 650 درجه سانتی‌گراد تحت بارگذاری 3000 نیوتن

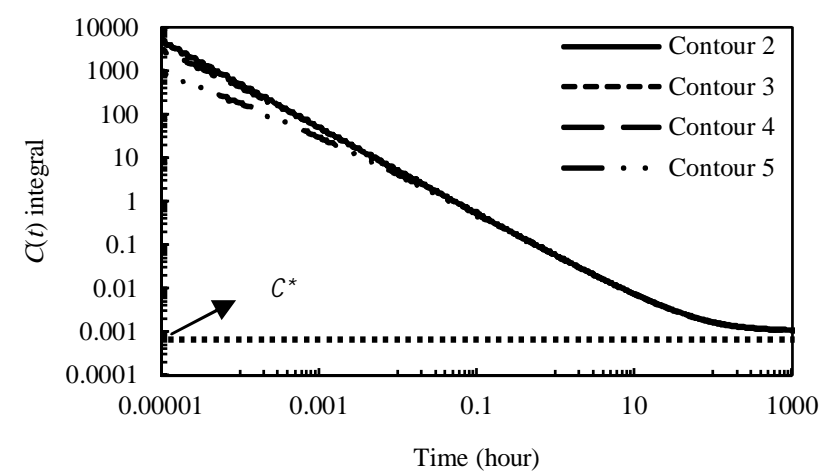


Fig. 13 $C(t)$ integral variation at P91 CT specimen crack tip during FE modeling based on Norton creep model at 650°C under 3000N load

شکل 13 نحوه تغییرات $C(t)$ در نوک ترک نمونه کشش فشرده P91 در طی فرآیند شبیه‌سازی با استفاده از مدل نورتن در دمای 650 درجه سانتی‌گراد تحت بارگذاری 3000 نیوتن

جدول 4 مقادیر C^* سطوح انتگرال مختلف حول نوک ترک نمونه کشش فشرده از جنس فولاد P91 در دمای 650 درجه سانتی گراد تحت بارگذاری 3000 نیوتون**Table 4** C^* values derived from contours around P91 CT specimen crack tip at 650°C under 3000N load

Contour 5	Contour 4	Contour 3	Contour 2	C^* (N/(mm.h))
3.5014×10^{-3}	3.5556×10^{-3}	3.8072×10^{-3}	3.8868×10^{-3}	Liu-Murakami
1.0375×10^{-3}	1.0396×10^{-3}	1.0372×10^{-3}	1.0731×10^{-3}	Norton

جدول 5 مقادیر پارامتر مکانیک شکست به دست آمده از شیوه‌های اجزاء محدود، تنش مبنای و روش تجربی برای نمونه کشش فشرده از جنس فولاد P91 در دمای 650 درجه سانتی گراد تحت بارگذاری 3000 نیوتون

Table 5 Comparison of C^* values derived for P91 CT specimen at 650°C under 3000N load based on FE modeling, Reference stress method and experimentation

Experiment [19]	FEM	Reference stress method
3.4×10^{-3}	Norton, Non-Linear fit 1.2319×10^{-3}	Norton, Linear fit 1.0468×10^{-3}

- 3- بین مقادیر محاسبه شده ثوابت رابطه نورتن از دو شیوه برازش خطی و غیرخطی اختلاف وجود دارد، اما این اختلاف منشأ خطای زیادی در مقادیر خروجی C^* نیست.
- 4- خروجی مقادیر C^* نسبت به تغییرات در ثابت n ، در مقایسه با تغییرات در ثابت A ، حساس‌تر است.
- 5- حل اجزاء محدود بر مبنای مدل پرکاربرد نورتن با وجود پیاده‌سازی راحت‌تر به دلیل رویکرد غیر محتاطانه دارای قابلیت اطمینان بالایی نیست و کاربرد آن در مسائل شکست توصیه نمی‌شود.
- 6- روش مهندسی تنش مبنای رویکرد محتاطانه‌تری در مقایسه با روش‌های اجزاء محدود در محاسبه C^* دارد.
- 7- روش تنش مبنای که بر مبنای کمترین میزان اطلاعات از ماده و تحلیل سازه‌ای آن‌ها بناسده، با وجود محتاطانه بودن و نداشتن بالاترین دقت، می‌تواند ابزاری گره‌گشا در تعیین پارامتر مکانیک شکست در رژیم خرمن باشد.

8- مراجع

- [1] J. Granacher, T. Mao, K. Maile, R. Fischer, Finite element calculation of creep crack initiation on an IP-turbine rotor using the C^* -parameter, *Materials at high temperatures*, Vol. 15, No. 3-4, pp. 331-335, 1998.
- [2] K. Nikbin, M. Yatomi, K. Wasmer ,G. Webster, Probabilistic analysis of creep crack initiation and growth in pipe components, *International journal of pressure vessels and piping*, Vol. 80, No. 7, pp. 585-595, 2003.
- [3] M. Tan, N. Celard, K. Nikbin, G. Webster, Comparison of creep crack initiation and growth in four steels tested in HIDA, *International journal of pressure vessels and piping*, Vol. 78, No. 11, pp. 737-747, 2001.
- [4] J. Landes, J. Begley, A fracture mechanics approach to creep crack growth, *ASTM STP*, Vol. 590, pp. 128-148 ,1976.
- [5] A. Mehmanparast, C. Davies, G. Webster, K. Nikbin, Creep crack growth rate predictions in 316H steel using stress dependent creep ductility, *Materials at High Temperatures*, Vol. 31, No. 1, pp. 84-94, 2014.
- [6] K. Nikbin, D. Smith, G. Webster, An engineering approach to the prediction of creep crack growth, *Journal of Engineering Materials and Technology*, Vol. 108, No. 2, pp. 186-191, 1986.
- [7] J. R. Rice, A path independent integral and the approximate analysis of strain concentration by notches and cracks, *Journal of applied mechanics*, Vol. 35, No. 2, pp. 379-386, 1968.
- [8] T. Anderson, *Fracture Mechanics Fundamentals and Applications*, 10 ed., CRC press, Taylor and Francis Group, 2005 .
- [9] T. Hyde, Creep crack growth in 316 stainless steel at 600 degree C, *High Temp. Technol.*, Vol. 6, No. 2, pp. 51-61, 1988.
- [10] ASTM, *E1457-00 Standard Test Method for Measurement of Creep Crack Growth Rates in Metals*, ASTM International, 2001.
- [11] B. Dogan, K. Nikbin, U. Ceyhan, Code of Practice for creep crack growth testing of industrial specimens, *Strength Fracture and Complexity*, Vol. 4, No. 1, pp. 15-21, 2006.
- [12] L. Kachanov, On the time to failure under creep conditions, *Izv. AN SSSR, Otd. Tekhn. Nauk*, Vol. 8, pp. 26-31, 1958.

علاوه‌بر این با توجه به جدول 6 می‌توان دریافت که نتیجه اجزاء محدود با استفاده از ثوابت به دست آمده با استفاده از برازش غیرخطی دارای خطای کمتری نسبت به کاربرد ثوابت به دست آمده از شیوه برازش خطی است. مقایسه نتایج اجزاء محدود با استفاده از مدل نورتن بر مبنای ثوابت به دست آمده از دو روش برازش خطی و غیرخطی نشان می‌دهد که اختلافی تا اندازه 84.49 درصد در مقادیر ثابت A و 5.34 درصدی در مقادیر n سبب ایجاد اختلاف قابل قبول 15 درصدی در مقدار C^* می‌شود. به عبارت دیگر با توجه نزدیک بودن میزان خطای موجود در خروجی کانتور انتگرال به خطای محاسبه شده برای ثابت n می‌توان این‌گونه تحلیل نمود که خروجی کانتور انتگرال C^* حساسیت بیشتری به تغییرات مقدار ثابت n دارد. دلیل این امر را می‌توان در معادلات رفتاری خرمن جست و جو کرد.

شکل 15 نحوه توزیع آسیب به وجود آمده در نمونه کشش فشرده را نشان می‌دهد. همان‌طور که مشاهده می‌گردد آسیب به وجود آمده در نوک ترک بیشترین مقدار را دارد که در طی زمان از مقدار صفر تا مقدار یک گسترش می‌یابد.

7- جمع‌بندی و خلاصه نتایج

- 1- در حل اجزاء محدود بر مبنای مدل مکانیک آسیب لیو- موراکامی نتایج دارای دقت بالاتری است، هرچند نیاز به صرف زمان به نسبت زیادی در محاسبه ضرایب این حل وجود دارد.
- 2- در محاسبات اجزاء محدود توسط مدل آسیب لیو- موراکامی واپیچش بیشتری در المان‌های نوک ترک مشاهده می‌گردد که با توجه به پیش‌بینی بیشتر این مدل از تغییرشکل رخ داده، نسبت به مدل نورتن، قابل توجیه است.



Fig. 15 Damage distribution ahead of P91 CT specimen crack tip after exposing to 10000 hours of creep condition at 650C and 3000N load

شکل 15 توزیع آسیب در نوک ترک نمونه کشش فشرده فولاد P91 پس از بارگذاری به‌اندازه 3000 نیوتون برای 10000 ساعت در دمای 650 درجه سانتی گراد

- [23] X. Ling, Y. Zheng, Y. You, Y. Chen, Creep damage in small punch creep specimens of Type 304 stainless steel, *International journal of pressure vessels and piping*, Vol. 84, No. 5, pp. 304-309, 2007.
- [24] S. Murakami, Y. Liu, M. Mizuno, Computational methods for creep fracture analysis by damage mechanics ,*Computer methods in applied mechanics and engineering*, Vol. 183, No. 1, pp. 15-33, 2000.
- [25] K. Naumenko, *Modeling of high-temperature creep for structural analysis applications*, Professional Thesis, Martin Luther University Halle-Wittenberg, Germany, 2006.
- [26] W. Sun, C. Hyde, T. Hyde, A. Becker, R. Li, M. Saber, *Finite element analysis of creep crack growth for compact tension and thumbnail crack specimens*, IAEA, 2011.
- [27] T. Hyde, The use of the reference stress concept in creep crack growth studies ,*Journal of the Mechanical Behavior of Materials*, Vol. 2, No. 1-2, pp. 37-56, 1989.
- [28] B. Wilshire, D. R. J. Owen, *Engineering Approaches to High Temperature Design : Recent Advances in Creep and Fracture of Engineering Materials and Structures 2*, Pineridge press, 1983.
- [29] K. Wasmer, K. Nikbin, G. Webster, Creep crack initiation and growth in thick section steel pipes under internal pressure, *International journal of pressure vessels and piping*, Vol. 80, No. 7, pp. 489-498, 2003.
- [30] R. Ainsworth ,The assessment of defects in structures of strain hardening material, *Engineering Fracture Mechanics*, Vol. 19, No. 4, pp. 633-642, 1984.
- [31] G. Webster, R. A. Ainsworth, *High temperature component life assessment*, Springer Science & Business Media, 1994.
- [13] I. U. r. N. Rabotnov, *Creep problems in structural members*, North-Holland Pub. Co., 1969.
- [14] F. Leckie, D. Hayhurst, Creep rupture of structures, in *Proceeding of the Royal Society of London: A Mathematical, Physical and Engineering Sciences*, The Royal Society, pp. 323-347, 1974.
- [15] F. A. Leckie, D. Hayhurst, Constitutive equations for creep rupture, *Acta Metallurgica*, Vol. 25, No. 9, pp. 1059-1070, 1977.
- [16] Y. Liu, S. Murakami, Damage Localization of Conventional Creep Damage Models and Proposition of a New Model for Creep Damage Analysis, *JSME International Journal Series A*, Vol. 41, No. 1 ,pp. 57-65, 1998.
- [17] R. Penny, D. Marriott, *Design for creep*, Chapman & Hall, London, 1995.
- [18] A. González-Herrera, J. Zapatero, Influence of minimum element size to determine crack closure stress by the finite element method, *Engineering fracture mechanics*, Vol. 72, No. 3, pp. 337-355, 2005.
- [19] T. Hyde, M. Saber, W. Sun, Testing and modelling of creep crack growth in compact tension specimens from a P91 weld at 650 C, *Engineering Fracture Mechanics*, Vol. 77, No. 15, pp. 2946-2957, 2010.
- [20] D .Tanner, A. Becker, T. Hyde, High temperature life prediction of a welded IN718 component, in *Proceeding of Journal of Physics: Conference Series*, IOP Publishing, 2009.
- [21] W. Brocks, W. Qi, Numerical Investigation of Creep Damage Development in the Ni-Based Superalloy IN738 LC at 850C, *Computer modeling in engineering and sciences*, Vol. 3, No. 3, pp. 313-320, 2001.
- [22] T. Hyde, W. Sun, Creep damage modelling of welds with heterogeneous structures, in *3 rd International Conference on Integrity, Reliability and Failure*, 20-24 , 2009.